

琉球大学 正員 大城 武  
 琉球大学 正員 沢田 純大  
 東洋コンクリートKK 渡慶次道典

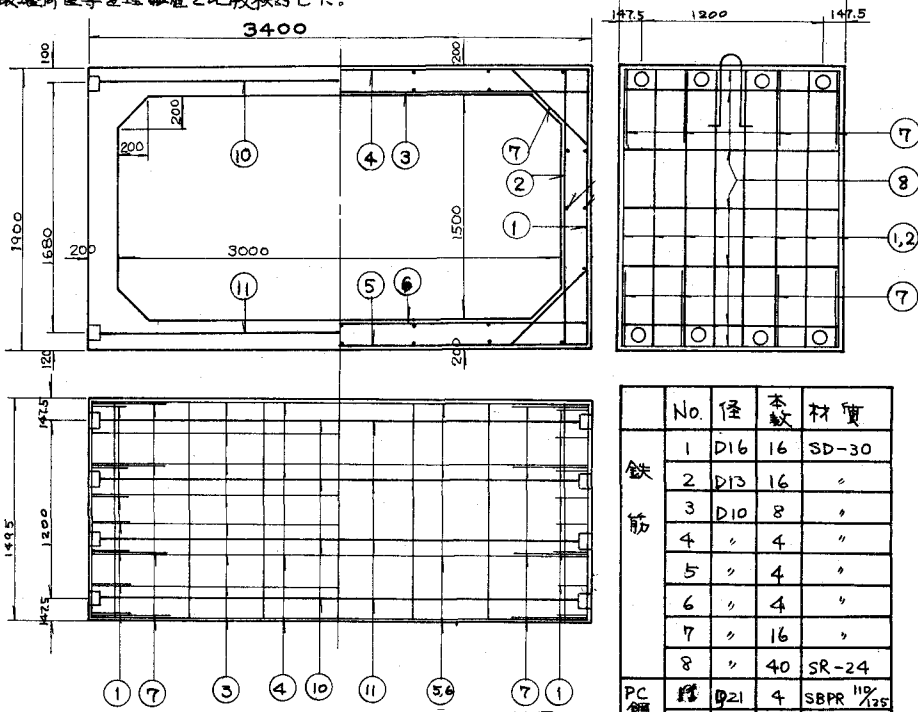
## 1. まえがき

暗渠として、二次製品のボックスカルパートが開発されて以来10年以上になります。現在では、下水、雨水溝として、二次製品のボックスカルパートの占める割合は非常に大きくなっています。二次製品の特徴は、製品の充分な管理、プレストレスの導入の容易さ、工費とのものの取扱いである。P.S.C.ボックスカルパートは頂版と底版に沿うプレストレスが導入され、なお、アンボンドのアストラニション方式である。

ボックスカルパート製品の破壊試験は、数多く行われているが、使用側の要求で行われることが多いので、年にじめられ荷重と破壊荷重の関係を示されることになり、力学的な種々の挙動に対する余り報告されこりない。ここでは、2個のP.S.C.ボックスカルパート（内幅3m、内高1.5m）の破壊試験を行い、たわみ、ひずみ分布、ひずみ分布、破壊荷重等を理論値と比較検討した。

## 2. 実験

試験に用いたボックスカルパートは図-1に示す寸法を有しています。コンクリートは表-1に示す配合で練られ、回転のコンクリート強度は400 kg/cm<sup>2</sup>であります。28日強度は450 kg/cm<sup>2</sup>であります。試験時にカルパートから直接抜き取った供試体の強度は約600 kg/cm<sup>2</sup>であります。また、鉄筋にはSD30が用いられており、PC鋼棒としては降伏応力107 kg/cm<sup>2</sup>のものが用いられています。供試体の頂版、底版には4本のPC鋼棒があり、それぞれ29 ton のプレストレスが導入され、合計で116 ton の導入力となる。



セメント	水	粗骨材	粗骨材	水セメント比
380 kg	182 kg	764 kg	1034 kg	45%

表-1 コンクリートの配合

供試体は図-2のように砂上にセットされ、100 ton 油圧ショックで載荷された。荷重はボックスの中央に一

実の載荷重とした。

### 3. 理論

一般にボックスカルバートの反力分布は弹性支持上のはりと同じであるが、ここでは、等分荷反力を仮定する。曲げモーメントはたわみ角法により求めよ。たわみ（頂版および底版中央の相対たわみ）は、この曲げモーメントを用い、仮想仕事の原理から、

$$S = \int \frac{M_1 M_2}{EI_z} ds - \int \frac{\bar{M}_1 \bar{M}_2}{EI_z} ds$$

で与えられる。ここで、 $M_1, M_2$  は、それぞれ頂版および底版を半純ばかりとして、中央に仮想荷重 1 を与えたときの曲げモーメントである。クラックが生じた後のボックスの剛性は Bramson の公式を用いると、

$$I_{eq} = (Mc_r/M)^3 I_g + [1 - (Mc_r/M)^3] I_{cr}$$

で与えられる。 $I_g, I_{cr}$  はそれぞれ全断面有效の断面二次モーメント、およびクラックが生じた後の断面二次モーメントである。 $Mc_r$  はクラックモーメントで、 $M$  は最大曲げモーメントである。

破壊耐力はコンクリートに対し、応力を  $0.85 f'_c$  ヒレた矩形の応力分布、鉄筋および PC 鋼棒に対し降伏応力を仮定して計算できる。ボックスの破壊に対する塑性ヒンジを図-3 のように仮定すると破壊荷重  $P_u$  は  $(2M_{u1} + 2M_{u2})/L$  で与えらる。ここで、 $M_{u1}, M_{u2}$  は頂版および底版の塑性耐力である。

### 4. 実験および計算結果

実験および計算結果の一例を図-4、図-5、図-6、および表-2 に示す。

なお、この実験は東洋コンクリート K.K. で行われ、協力して頂いた同社貢及び琉球大学工木工学科の構造研究室の学生諸氏に感謝致します。

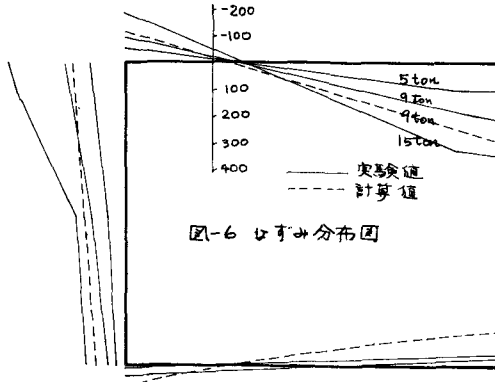


図-6 ひずみ分布図

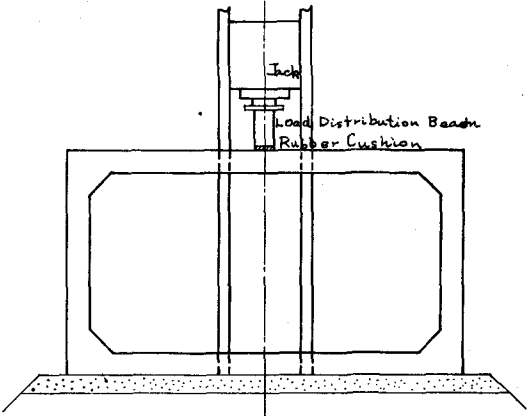


図-2 供試体のセット

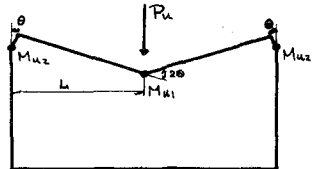


図-3 塑性ヒンジの位置

表-2 ひじかれ荷重、破壊荷重

	ボックス A		ボックス B	
	理論	実験	理論	実験
ひじかれ荷重	18.0	18.0	22.5	20.0
破壊荷重	36.9	43.0	38.2	44.0

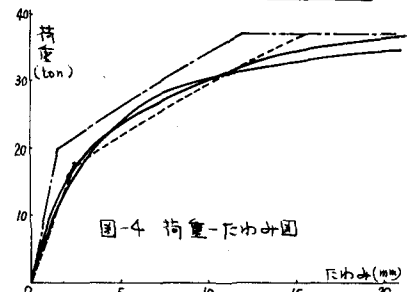


図-4 荷重-たわみ図

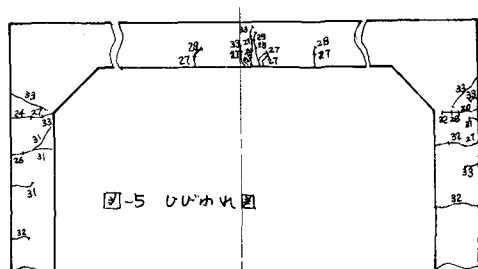


図-5 ひじかれ図